

UNIVERSITATEA DIN BUCUREȘTI
Facultatea de Fizică

R A D U H O M E S C U

**PRELUCRAREA OPTICĂ A INFORMAȚIEI
CU AJUTORUL HOLOGRAFIEI**

— Rezumatul tezei de doctorat —

Conducător științific :
Prof. dr. docent GHEORGHE G. BRĂTESCU

UNIVERSITATEA DIN BUCURESTI
Secretariat

Nr. 9595 din 22.06. 1982


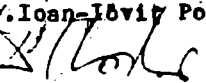
Către, Dr. ing. VALENTIN I. VLAD
- Cercetător științific principal
Centrul Național de Fizică

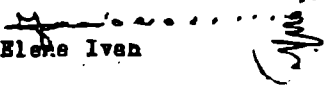
Vă facem cunoscut că în ziua de 9 IULIE 1982
orele 12⁰⁰ în aulă nr. 1 al
Facultății de FIZICA din București, va
avea loc susținerea tezei de doctorat a tov. HOMESCU RADU
cu tema:

PRELUCRAREA OPTICA A INFORMATIEI CU AJUTORUL HOLOGRAFIEI.

în vederea obținerii titlului de doctor în fizică

În conformitate cu Instrucțiunile privind conferirea
titlurilor științifice în Republica Socialistă Românie,
aprobată prin Ordinul Ministrului Educației și Învățământului
nr.18 din 19 ianuarie 1968, vă trimitem rezumatul tezei de
doctorat cu rugămintea de a comunica în scris observațiile
Dv. pe adresă: Universitatea din București - DOCTORAT -
B-dul Gheorghe Gheorghiu-Dej nr.64 și a participa la susținerea
tezei.

R E C T O R,
Prof. dr. Ioan-Ioan Popescu



SECRETARUL ȘEF AL UNIVERSITĂȚII,

Elena Ivan

La elaborarea acestei lucrări am beneficiat de competența și permanenta îndrumare a conducătorului meu științific, Profesor dr. docent Gheorghe G. Brătescu. Pentru modul în care a contribuit la formarea mea profesională, încă din anii studenției, pentru fructuoasele și substanțialele discuții științifice purtate, cât și pentru sprijinul atent și generozitatea cu care m-a încurajat pe întreaga durată a cercetărilor întreprinse, îmi exprim profunda recunoștință.

Colaborarea generoasă, sprijinul competent și consistent oferite la realizarea părții experimentale a lucrării, îmi prielujuiesc ocazia adresării deosebitei recunoștințe colegului meu lector dr. Petru I. Suciu de la Catedra de fizică a Institutului Politehnic București.

Prezint, totodată, întreaga mea grațitudine lectorului dr. Alexandru I. Șchiop de la Catedra de matematici a Institutului Politehnic București, pentru competența cu care m-a inițiat în teoria funcțiilor spline și pentru generozitatea cu care m-a sprijinit la soluționarea problemelor de optimizare și aproximare.

Recunoștința mea se îndreaptă, de asemenea, către ar. ing. V. I. Vlad de la Centrul Național de Fizică și dr. Tiberiu Tudor de la Facultatea de fizică București, pentru utilele discuții de specialitate purtate.

În mod deosebit le mulțumesc colegilor dr. Lucian D. Duță și dr. Mihai G. Stancu pentru sprijinul oferit la realizarea și implementarea programelor de calcul. În același context, exprim, de asemenea, vii mulțumiri colegilor dr. ing. D. Somnea și asistent I. Rozin.

Adresez, pe această cale, sincere și distinse mulțumiri conducerei Catedrei de cibernetică economică și colegilor de la Laboratoarele Catedrei de cibernetică economică pentru condițiile create și climatul științific în care mi-am desfășurat activitatea de cercetare.

I N T R O D U C E R E

Optica modernă și în special optica coerentă, care s-a dezvoltat o dată cu descoperirea laserului și a holografiilor, a oferit metode și mijloace specifice de tratare a informației. În acest fel, în optica modernă s-a conturat, ca domeniu distinct, prelucrarea optică a informației /14/, în cadrul căreia prelucrarea cu ajutorul holografiilor ocupă un loc aparte. Ca urmare a aportului conjugat al teoriei difracției, analizei spectrale, al opticii neliniare, al teoriei semnalelor și sistemelor optice, al holografiilor, pe de o parte, și al teoriei informației, teoriei comunicațiilor și al informaticii, pe de altă parte, prelucrarea optică a informației a cunoscut o dezvoltare considerabilă. Rezultatele remarcabile obținute în acest domeniu au avut drept consecință crearea unor institute de cercetare specializate și organizarea anuală a unor importante colocvii și congrese internaționale.

În țara noastră există realizări importante în această direcție, în cadrul secției de laseri a Centrului Național de Fizică /52/. Una din importantele problematici care formează obiect de studiu în numeroasele centre de cercetare din lume este aceea a optimizării și aproximării parametrilor fenomenologici proprii prelucrării optice a informației. Existența fenomenelor neliniare, apariția și propagarea zgomotelor care însoțesc semnalele optice înregistrate în materiale fotosensibile, precum și o serie de fenomene care generează degradarea imaginilor, reprezintă doar câteva aspecte care necesită abordarea teoriei optimizării și teoriei aproximării. Lucrarea pe care am elaborat-o și-a propus să aducă o serie de contribuții la dezvoltarea metodelor de optimizare și aproximare în domeniul prelucrării optice a informației.

În cele ce urmează, vom prezenta rezumativ aceste contribuții.

1. LINIARIZAREA OPTIMALĂ ÎN CAZUL HOLOGRAVELOR SINTETIZATE PRIN EXPUNERI SUCCESIVE

Materialele fotosensibile joacă un rol deosebit de important în optică și sînt întîlnite oriunde apare necesară înregistrarea și redarea semnalelor /1-26/. O serie de probleme recente ale holografiilor, cum sînt cele referitoare la înregistrarea informației în materialele fotosensibile și la redarea ei, sub restricția minimizării

rii distorsiunilor neliniare, respectiv a maximizării reconstrucției fronturilor de undă, aduc în actualitate cerințele liniarizării răspunsului acestor materiale /27-35/ și creșterii capacității de stocare a informației /14/, /44-46/.

De un interes deosebit în această direcție sînt cercetările efectuate de Francis Yu /35/, /37/ care, utilizînd o metodă originală de liniarizare optimă a curbei transmitanță în amplitudine - expunere, calculează parametrii reconstrucției optime a imaginii de ordinul întîi dintr-o înregistrare holografică neliniară. Pornind de la metoda elaborată de Yu, am aplicat tehnica liniarizării optime în cazul hologramelor sintetizate prin expuneri succesive /41/, /43/. Considerînd că expunerea E poate lua k valori succesive pentru sinteza hologramei, valoarea transmitanței corespunzătoare expunerii E_i este dată de expresia polinomială:

$$T_{E_i} = \sum_{n=0}^k a_n E_i^n, \text{ pentru } i=0, k \quad (1)$$

Linia curba $T=T(E)$ înseamnă a înlocui expresia (1), printr-o relație de formă:

$$T_i(E) = \lambda_0 + \lambda_1 E_i, \quad (2)$$

ceea ce revine la a aproxima transmitanța neliniară, printr-o transmitanță liniară. Pentru ca aproximarea să fie cît mai bună este necesar ca următoarea expresie să fie minimă:

$$\sum_{i=0}^k (T_{E_i} - \lambda_0 - \lambda_1 E_i)^2 = \text{minim} \quad (3)$$

Notînd prin $S(\lambda_0, \lambda_1) = \sum_{i=0}^k (T_{E_i} - \lambda_0 - \lambda_1 E_i)^2$, pentru a determina parametrii λ_0 și λ_1 trebuie rezolvat următorul sistem:

$$\partial S(\lambda_0, \lambda_1) / \partial \lambda_0 = 0 \text{ și } \partial S(\lambda_0, \lambda_1) / \partial \lambda_1 = 0; \quad (4)$$

Admițînd ipoteza că transmitanțele T_{E_i} sînt aditive și rezolvînd sistemul (4), obținem:

$$\lambda_0 = \frac{\sum_{i=0}^k T_{E_i} \sum_{i=0}^k E_i^2 - \sum_{i=0}^k T_{E_i} E_i \sum_{i=0}^k E_i}{(k+1) \sum_{i=0}^k E_i^2 - (\sum_{i=0}^k E_i)^2}; \quad (5)$$

$$\lambda_1 = \frac{(k+1) \sum_{i=0}^k T_{E_i} E_i - \sum_{i=0}^k T_{E_i} \sum_{i=0}^k E_i}{(k+1) \sum_{i=0}^k E_i^2 - (\sum_{i=0}^k E_i)^2} \quad (6)$$

Spre deosebire de expresia găsită de Yu, în relația (6) nu intervin mediile expunerilor care ar comporta aproximări suplimentare. Parametrul λ_1 l-am interpretat ca transmitanță de ordinul 1 pentru holograma sintetizată prin expunerii succesive, sau în alți termeni, ca funcție de transfer de ordinul 1 a mediului de înregistrare.

În lucrare am arătat că interesul pentru o astfel de liniarizare optimală decurge din necesitatea stabilirii condițiilor experimentale pentru creșterea eficienței la difracție a hologramelor utilizate ca memorii de mare capacitate /44/, /45/, /54/, /55/, /76/.

2. OPTIMIZAREA LINIARA A CARACTERISTICII DE TRANSFER A HOLOGRAMELOR CU AJUTORUL FUNCTIILOR SPLINE

Printre limitările metodei Yu menționăm restricțiile referitoare la realizarea unui raport al fasciculelor obiect și de referință egal cu unitatea, la realizarea uniformității distribuției în amplitudine a undei obiect de-a lungul aperturii de înregistrare a hologramei și cele referitoare la utilizarea unui polinom de gradul 3 necesare descrierii analitice a curbei transmitanță-expunere. Pentru înlăturarea simultană a limitărilor menționate, am elaborat o nouă metodă de aproximare și liniarizare optimală, pe porțiuni, a caracteristicii de transfer a materialelor fotosensibile cu halogenuri de argint folosite în prelucrarea holografică a informației /86-89/. În acest scop, am utilizat proprietățile de aproximare ale funcțiilor spline, pe care le-am definit în domeniul expunerilor. Astfel, am stabilit o nouă formulă de calcul a transmitanței în amplitudine a hologramei, demonstrând că expresia analitică neliniară (polinomială) a curbei transmitanță-expunere poate fi înlocuită printr-o expresie liniară care asigură aproximarea optimală a acestei curbe.

Cunoscând că variabila luată în considerare este expunerea E (vezi Fig.1), vom defini următoarele funcții spline /82/ în intervalul $[0, E_M]$, în care E_M reprezintă valoarea maximă a expunerii:

$$I_0(E) = \begin{cases} \frac{E_1 - E}{E_1}, & \text{pentru } E \in [0, E_1] \\ 0, & \text{pentru } E_1 \leq E \leq E_M \end{cases} \quad (7)$$

$$l_i(E) = \begin{cases} \frac{E-E_{i-1}}{E_i-E_{i-1}}, & \text{pentru } E_{i-1} < E \leq E_i \\ \frac{E_{i+1}-E}{E_{i+1}-E_i}, & \text{pentru } E_i < E < E_{i+1} \\ 0, & \text{în rest.} \end{cases} \quad (8)$$

$$l_{N+1}(E) = \begin{cases} \frac{E-E_N}{E_M-E_N}, & \text{pentru } E_N < E \leq E_M \\ 0, & \text{pentru } 0 \leq E \leq E_N \end{cases} \quad (9)$$

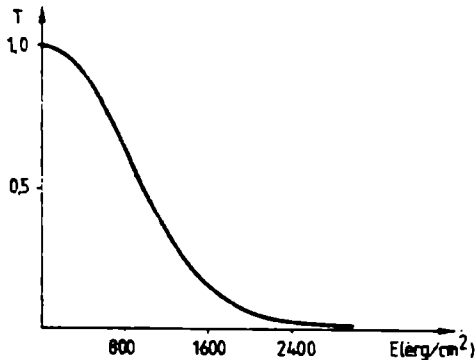


Fig.1

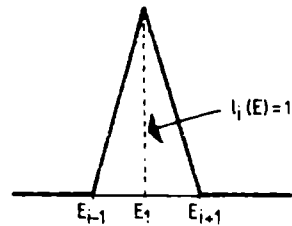


Fig.2

Aceste funcții spline sînt funcții "acoperiș" (Fig.2) pentru care $l_i(E_i)=1$. Dacă diviziunea segmentului $[0, E_M]$ este:

$0=E_0 < E_1 < E_2 < \dots < E_i < E_{i+1} < \dots < E_{N+1}=E_M$, iar pasul diviziunii este același h , atunci în relația (8), $E_i-E_{i-1}=h$ și $E_{i+1}-E_i=h$,

iar funcțiile spline se sprijină pe nodurile rețelei de valori ale expunerilor. Am adoptat ipoteza că pașii rețelei sînt echidistanți și pot fi oricît de mici. Intrucît transmitanța $T(E)$ este dată de relația:

$$T(E) = \sum_{n=0}^N a_n E^n, \quad (10)$$

problema pe care am rezolvat-o constă în aproximarea funcției $T(E)$ printr-o combinație liniară a funcțiilor spline $l_i(E)$, adică:

$\sum_{i=0}^{N+1} \beta_i^* l_i(E)$. Pentru a aproxima funcția $T(E)$, este necesar să determinăm coeficienții β_i^* (cu $i=0, N+1$), așa încît:

$$\varphi(\beta^*) = \min_{\beta_i^*} \int_0^M [T(E) - \sum_{i=0}^{N+1} \beta_i^* l_i(E)]^2 dE \quad (11)$$

Derivînd ecuația (11) în raport cu $\beta_0^*, \beta_1^*, \dots, \beta_{N+1}^*$ obținem următorul sistem:

$$A\beta^* = k \quad (12)$$

în care elementele matricii A sînt de forma: $a_{ij} = \int_0^M l_i(E) l_j(E) dE$,

iar vectorul coloană k este format din elemente de forma:

$$\int_0^M T(E) l_i(E) dE.$$

Ținînd seama de faptul că $h = E_M / (N+1)$, se pot calcula elementele a_{ij} ale matricii A, încît sistemul (12) care trebuie rezolvat, devine:

$$\frac{h}{6} \begin{bmatrix} 2 & 1 & & & 0 \\ & 4 & & & \\ & & 4 & & \\ & & & 4 & \\ 0 & & & & 2 \end{bmatrix} \begin{bmatrix} \beta_0^* \\ \beta_1^* \\ \vdots \\ \beta_{N+1}^* \end{bmatrix} = \begin{bmatrix} \int_0^M T(E) l_0(E) dE \\ \vdots \\ \int_0^M T(E) l_{N+1}(E) dE \end{bmatrix} \quad (13)$$

Aplicînd metoda trapezelor pentru integralele din membrul drept, vom obține, în final:

$$\frac{1}{6} \begin{bmatrix} 2 & 1 & & & 0 \\ & 4 & & & \\ & & 4 & & \\ & & & 4 & \\ 0 & & & & 2 \end{bmatrix} \begin{bmatrix} \beta_0^* \\ \beta_1^* \\ \vdots \\ \beta_{N+1}^* \end{bmatrix} = \begin{bmatrix} T(E_0) \\ T(E_1) \\ \vdots \\ T(E_{N+1}) \end{bmatrix} \quad (14)$$

Acest sistem de ecuații l-am rezolvat prin metoda Gauss [8]1/, obținînd valorile β_i^* , în final rezultînd următoarea expresie liniară pentru aproximarea funcției T(E):

$$T^*(E) = \sum_{i=0}^{N+1} \beta_i^* l_i(E), \quad (15)$$

în care $T^*(E)$ reprezintă transmitanța optimală. Analizînd ecuația (15), se observă că $\beta_i^* = T^*(E_i)$, deoarece spline-urile în nodurile rețelei au valoarea: $l_i(E_i) = 1$. Se constată din (15), că β_i^* au semnificație de transmitanțe (aproximate optimal). Analizînd relațiile (10) și (15) se remarcă faptul că am realizat înlocuirea expresiei neliniare (polinomiale) a transmitanței, printr-o relație liniară care asigură aproximarea optimală a curbei $T = T(E)$ pe porțiuni.

În lucrare am arătat că precizia metodei urmează legea stabilită de Schultz (85) și anume:

$$|\beta_{i+1}^* - \beta_i^*| < h^2, \quad (16)$$

cu alte cuvinte, diferența între două valori consecutive ale transmitanțelor optime locale este mai mică decât pătratul pasului de discretizare luat pe axa expunerilor și care poate fi ales oricât de mic, chiar sub limita posibilităților experimentale de determinare a două valori consecutive ale expunerilor.

Analizând sistemul (14), observăm că vectorul coloană din membrul drept conține valorile transmitanțelor experimentale. Dacă din punct de vedere experimental am obținut valori ale transmitanței doar într-o anumită porțiune a curbei T-E, ca de pildă în zonă subexpunerilor, atunci introducând aceste valori în sistemul (14), vom obține aproximarea optimă a transmitanțelor în zona respectivă, încât curba T-E pentru această zonă va fi liniarizată pe porțiuni, valorile β_i^* corespunzătoare fiind chiar ordonatele curbei liniarizate optime.

Algoritmul de calcul l-am implementat pe calculatorul electronic, elaborând, în acest sens, un sistem de programe, care, pe lângă calculul transmitanțelor optime approximate, permite și trasarea curbelor T-E liniarizate pe porțiuni (vezi Fig.9 și 10). Același sistem de programe permite, de asemenea, aproximarea prin polinoame și prin metoda celor mai mici pătrate, stabilind totodată gradele de aproximare.

Metoda elaborată am aplicat-o pentru holograme de tip Fresnel. Pentru aceasta am realizat holograme "fascicul pe fascicul", utilizând ca undă obiect o undă aproximativ plană provenită de la un laser He-Ne (40 mW și $\lambda=6328\text{\AA}$) care lucrează pe modul TEM₀₀, iar ca material fotosensibil, plăci Kodak 649F. Am efectuat, de asemenea, măsurătorile ale eficienței la difracție în ordinul întâi (vezi Fig.3) Instalația experimentală și geometria acestora sînt prezentate în Fig.4 și 5.

Măsurătorile de transmitanță în amplitudine le-am efectuat cu ajutorul unui microfotometru Zeiss cu celulă fotoelectrică (Fig.6), iar puterea în ordinul 1, am măsurat-o cu un powermetru LMI-Zeiss (100 mW).

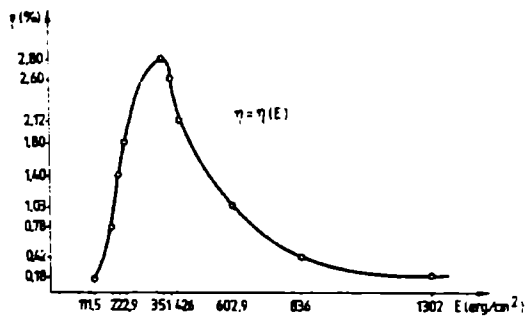
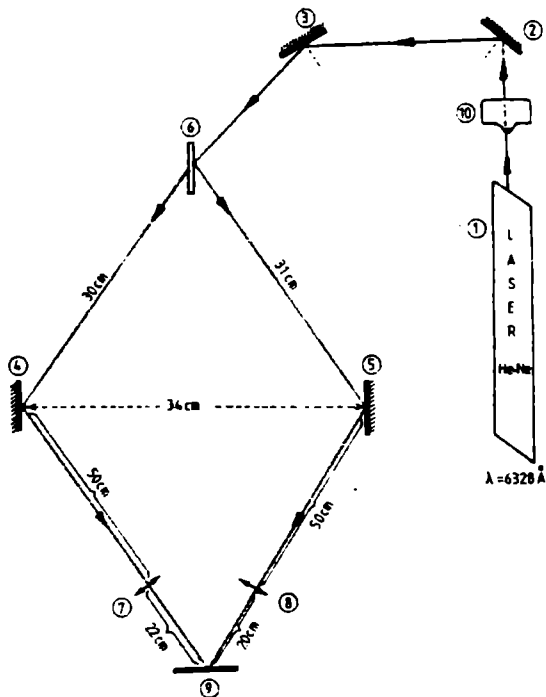


Fig. 3

GEOMETRIA INSTALAȚIEI EXPERIMENTALE



- 1=Laser He-Ne hp HNA-188 Zers. Jena
- 2,3,4,5=Oglăzi metalizate reglabile EI DDH MH 50
- 6=Divizor de fascicule cu transparență continuu-varnabilă VBA-200 EI DDH
- 7=Obiectiv pentru mărire fasciculului (6x)
- 8=Obiectiv pentru mărire fasciculului (10x)
- 9=Placă holografică KODAK 649F
- 10=Opturator LLC PRAKTIKA

Fig. 4

INSTALAȚIA EXPERIMENTALĂ

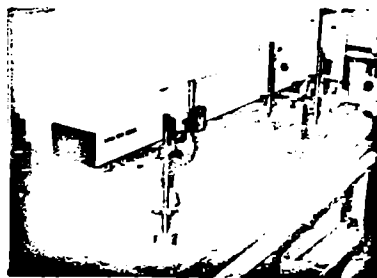


Fig.5



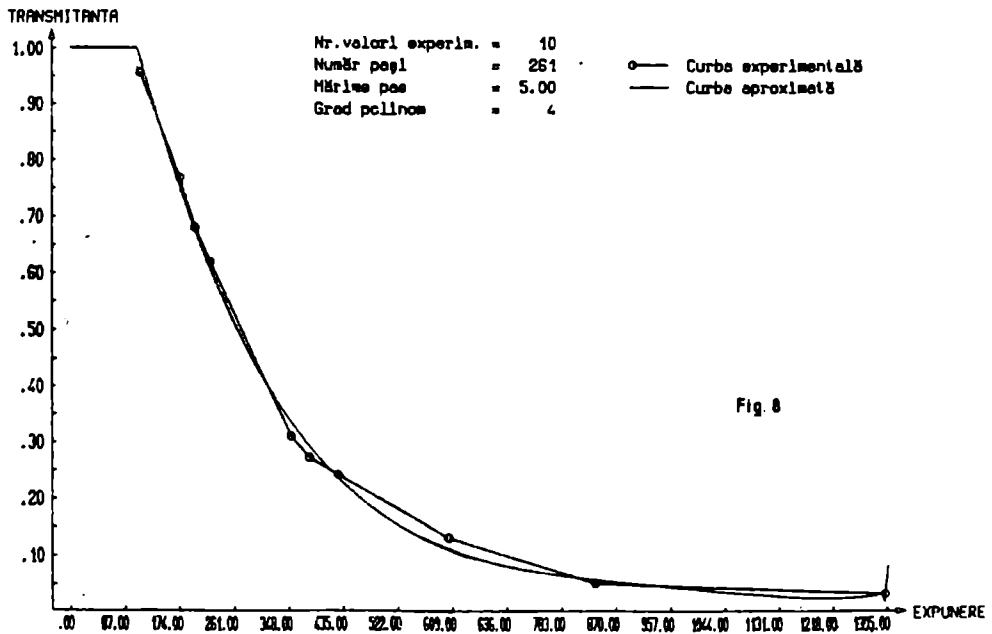
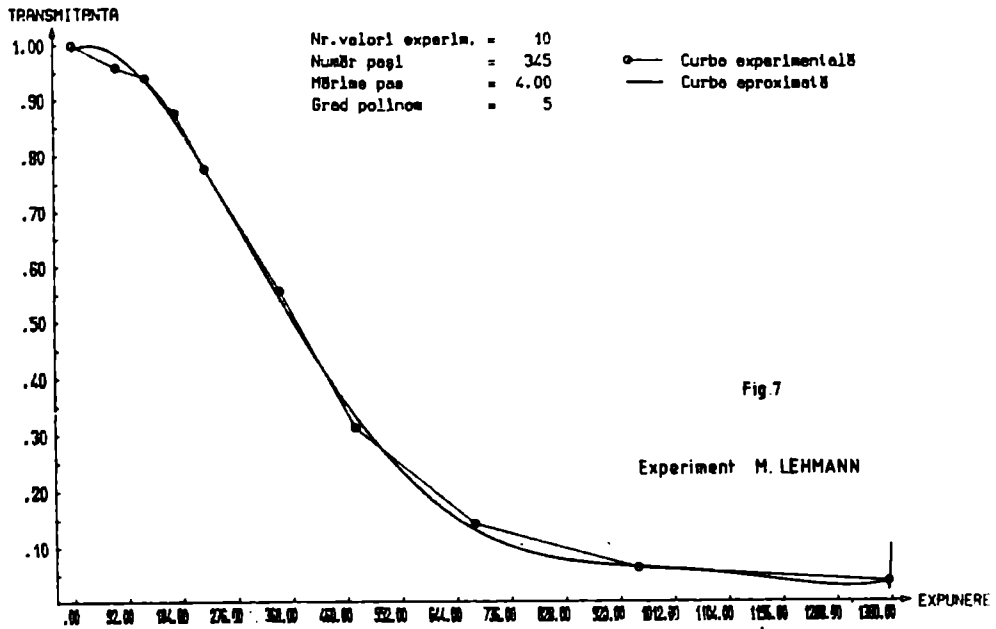
Fig.6

- 6 -

Pentru verificarea metodei de aproximare prin polinoame a curbei T-E și pentru testarea corectitudinii măsurărilor experimentale am comparat datele noastre cu acelea obținute de Lehmann și utilizate de Goodman și Knight /27/ pentru determinarea efectelor neliniarității introduse de plăcile Kodak 649F la reconstrucția fronturilor de undă ale obiectelor difuze. În Fig.7 este trasată, cu ajutorul calculatorului electronic, curba T-E, aproximată polinomial, utilizând datele experimentale obținute de Lehmann, iar în Fig.8 este trasată curba T-E cu datele experimentale obținute de noi. Compararea acestor curbe demonstrează corectitudinea algoritmului propus și a măsurărilor experimentale efectuate. În lucrare am arătat că pentru aproximarea prin polinoame este necesară alegerea gradelor optime ale acestora /78/ datorită instabilităților, respectiv "oscilațiilor" curbei la extremități /77/. În ceea ce privește aplicarea metodei de aproximare prin spline-uri pentru înregistrări neliniare ale hologramelor, am trasat curba transmitanță-expunere pe baza datelor experimentale obținute (Fig.9). Pentru a demonstra puterea metodei, am trasat și curba T-E aproximată prin metoda Francis Yu /35/, /37/ (Fig.10) și am determinat în cazul ambelor metode gradele de aproximare pe baza valorilor coeficienților de variație. Rezultatul obținut demonstrează că metoda pe care am elaborat-o permite aproximări superioare.

Ținând seama de posibilitățile de liniarizare pe porțiuni ale curbei T-E, deci și în zonele de neliniaritate pronunțată, metoda pe care am elaborat-o servește calculului imaginilor de ordin superior în procesul de reconstrucție a frontului de undă înregistrat. Permițând stabilirea nivelelor de expunere, direct din curba aproximată optimal, metoda propusă oferă posibilitatea definirii cerințelor experimentale de înregistrare holografică, în condiții de minimizare a distorsiunilor, pentru un tip de material fotosensibil dat. Ea poate fi generalizată și în domeniul înregistrărilor în lumină incoerentă sau cvasi-coerentă.

În ceea ce privește extinderea posibilităților de aplicare, această metodă de aproximare optimală poate fi utilizată la calculul și realizarea filtrelor optime, la analiza semnalelor prin filtraj spațial, precum și la sinteza memoriilor holografice /57-76/.



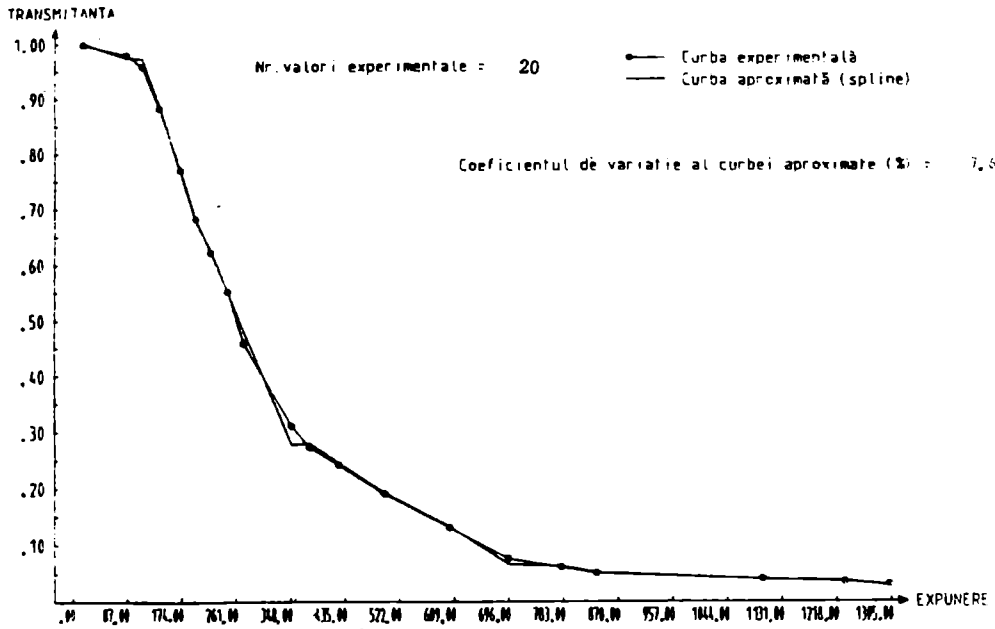


Fig. 9 : Aproximarea optimă a curbei T-E
cu ajutorul funcțiilor spline

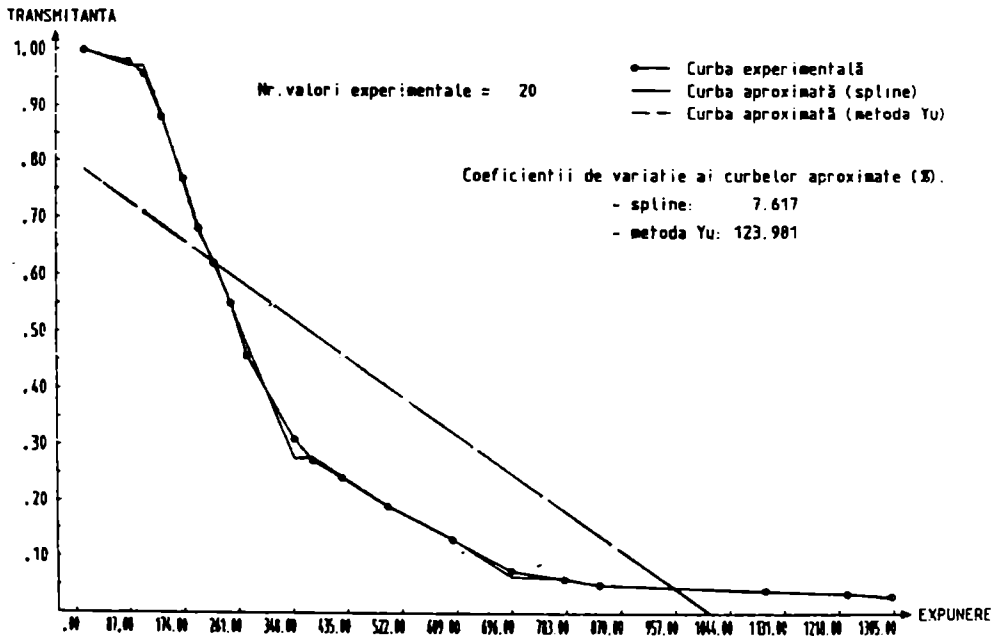


Fig. 10 : Aproximarea optimă a curbei T-E
cu ajutorul funcțiilor spline

3. OPTIMIZAREA RAPORTULUI SEMNAL/ZGOMOT

Prezența zgomotelor în imaginea holografică, cum sînt, de pildă zgomotele speculare specifice coerenței, zgomotele de intermodulație provenite din neliniaritatea caracteristicii de transfer a materialelor fotosensibile, zgomotele de relief cauzate de denivelările suprafeței emulsiei și zgomotele datorate repartiției stocastice a granulelor de argint în emulsie, a impus investigarea unor metode de determinare și separare a acestora de semnalele optice înregistrate.

În lucrare am abordat doar zgomotele datorate repartiției stocastice a granulelor de argint în emulsia fotosensibilă, elaborînd o nouă metodă de aproximare optimală a semnalului înregistrat și a zgomotului aferent, precum și a raportului optim semnal/zgomot [151], [152]. Metoda se bazează pe utilizarea funcțiilor spline bîdimensionale pe care le-am definit pe suprafața plăcii holografice prin intermediul unei rețele de noduri echidistante. În acest sens, am considerat că placa holografică este un pătrat de arde s , avînd laturile egale cu unitatea (vezi Fig. 11). Am divizat aceste laturi, de-a lungul axelor x și y , în pași de discretizare h echidistanți, oricît de mici posibil, obținînd astfel o rețea de noduri echidistante. Din punct de vedere fizic, acest lucru revine la posibilitatea alegerii mărimii pașilor sub dimensiunea celei mai mici granule de argint, asigurîndu-se, pe această cale, condiția de trecere sub limita de rezoluție a materialului fotosensibil.

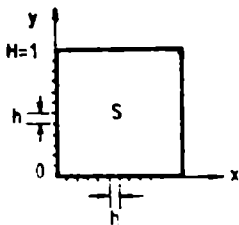


Fig. 11

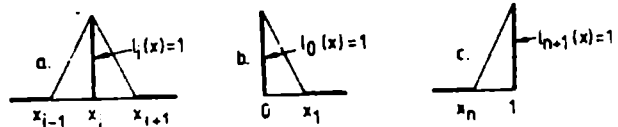


Fig. 12

De-a lungul axei x , am ales funcțiile spline (vezi Fig.12), de următoarea formă generală:

$$l_i(x) = \begin{cases} (x-x_{i-1})/h, & \text{pentru } x \in [x_{i-1}, x_i] \\ (x_{i+1}-x)/h, & \text{pentru } x \in [x_i, x_{i+1}] \\ 0 & , \text{ pentru } 0 \leq x \leq x_{i-1} \text{ și } x_{i+1} \leq x \leq 1 \end{cases} \quad (17)$$

De-a lungul axei y , am ales funcții spline similare, de forma următoare, avînd același pas de discretizare h :

$$l_j(y) = \begin{cases} (y-y_{j-1})/h, & \text{pentru } y \in [y_{j-1}, y_j] \\ (y_{j+1}-y)/h, & \text{pentru } y \in [y_j, y_{j+1}] \\ 0 & , \text{ în rest} \end{cases} \quad (18)$$

Am definit pe placa holografică funcțiile spline de bază, $\beta_k(x,y)$, drept toate produsele posibile $\{l_i(x)l_j(y)\}$, unde $i=0, n+1$ și

$j=0, n+1$. Intrucît transmitanța T este o funcție de expunere, iar expunerea E este dependentă de coordonatele x și y ale ariei s , am definit transmitanța optimală aproximată (T) prin următoarea relație:

$$T^*(E) = \sum_{k=1}^{(n+2)^2} \beta_k \overline{\beta_k(x,y)}, \quad (19)$$

în care valorile β_k (unde $k=1, (n+2)^2$) se determină din următorul sistem liniar:

$$A\beta = K \quad (20)$$

în care A este o matrice, iar β este vectorul coloană de elemente β_k . Termenul liber, K , este un vector de componente k_i și se calculează astfel:

$$K = [k_i] = \left[\int_0^1 \int_0^1 T(E) \beta_i(x,y) dx dy \right]_{i=1, (n+2)^2} \quad (21)$$

Integrala dublă am interpretat-o ca transmitanță mediată și ea reprezintă valoarea transmitanței $T(E)$ în punctele (x_1, y_1) , adică în toate nodurile rețelei considerate pe suprafața plăcii holografice. Cu alte cuvinte, elementul k_i este:

$$k_i = \int_0^1 \int_0^1 T(E) \beta_i(x,y) dx dy = T[E(x_1, y_1)]$$

deci vectorul K , care este $(n+2)^2$ - dimensional, conține transmitanțele $T[E(x_1, y_1)]$ pentru toate nodurile rețelei considerate.

Din relația (21) rezultă că integrala $\int_S \mathcal{A}_1(x,y) dx dy$ are semnificație de densitate de transmitanță.

În conformitate cu rezultatele lui Schultz /85/, matricea A se obține ca produs tensorial între următoarea matrice și ea însăși:

$$B = \frac{h}{6} \begin{bmatrix} 2 & 1 & 0 \\ 1 & 4 & 1 \\ 0 & 1 & 2 \end{bmatrix}, \quad (22)$$

adică $A = B \otimes B$. Pentru rezolvarea sistemului (20), am utilizat metoda Gauss-Seidel /155/, obținând valorile β_1 , care introduse în expresia (19) permit calculul transmitanței optimal aproximative. Analizând relațiile (19) și (21), se observă că pentru determinarea lui $T^*(E)$ este necesară cunoașterea transmitanței $T(E)$. Adoptând ipotezele lui Francis Yu /124/, /125/, conform cărora comportarea zgomotului emulsiilor fotosensibile urmează un proces Markov cu parametru continuu, iar distribuția granulelor dezvoltate corespunde unei probabilități nestaționare, expresia lui $T(E)$ este dată de:

$$T = e^{-bM} [1 - e^{-\varphi(E)}] \quad (22)$$

iar zgomotul, care reprezintă dispersia transmitanței, este:

$$\sigma_T^2 = Mb^2 e^{-\varphi(E)} [1 - e^{-\varphi(E)}] \cdot e^{-2bM} [1 - e^{-\varphi(E)}] \quad (23)$$

În aceste expresii $b = 0,5 \cdot \ln 10$, M reprezintă numărul de granule de argint conținute în așa-numita celulă imagine (adică aria minimă generatoare de imagine rezolubilă), iar $\varphi(E) = 0,5(E/\alpha)^2$, unde α este o constantă adecvată, a cărei mărime corespunde valorii maxime a derivatei funcției care descrie curba Hurter-Driffeld pentru emulsia respectivă.

Intrucât transmitanța reprezintă rădăcina pătrată a semnalului, iar zgomotul reprezintă dispersia acestei transmitanțe, raportul semnal/zgomot optimal va fi dat de:

$$(S/Z)^* = T^{*2} / \sigma_T^2 \quad (23)$$

Pentru determinarea lui σ_T^{*2} am utilizat același procedeu obținând următorul rezultat:

$$\sigma_T^{*2} = \sum_{p=1}^{(n-2)^2} \delta_p \mathcal{B}_p(x,y), \quad (24)$$

în care δ_p se determină rezolvând sistemul: $A\delta = P$, în care A este aceeași matrice ca în sistemul (20), iar vectorul coloană P, are

elementele de forma: $\int_0^1 \int_0^1 G_T(x,y) B_p(x,y) dx dy$. Acest tip de integrală am interpretat-o ca zgomot la puterea 1/2 mediat. În acest fel, integrala $\int_0^1 \int_0^1 B_p(x,y) dx dy$ reprezintă densitatea de zgomot, sau mai exact, densitatea rădăcinii pătrate a zgomotului. Analizînd ecuațiile (19) și (24), constatăm că T^* și G_T^* sînt polinoame liniare în x și y . În acest fel, am demonstrat că relațiile exponențiale (22) și (23) se pot transforma în relații liniare, arătînd, totodată, că raportul optimal semnal/zgomot se poate obține printr-o împărțire a două polinoame pătratice. Metoda pe care am elaborat-o poate fi utilizată la caracterizarea materialelor fotosensibile cu halogenuri de argint în ceea ce privește puterea de rezoluție, funcția de transfer de modulație și produsul spațiu x bandă. De asemenea, ea poate fi utilizată la calculul filtrelor spațiale.

4. RESTAURAREA IMAGINILOR DEGRADATE

Inconveniențele de ordin teoretic și experimental întîlnite la restaurarea imaginilor, au determinat, în ultimii ani, abordarea unor metode matematice speciale și utilizarea calculatoarelor electronice. Printre aceste metode se numără cele inițiate de Peyrovian și Sawchuk /182/ și continuate de Hou și Andrews /183/ care utilizează proprietățile de aproximare și interpolare ale funcțiilor spline.

Partea deterministă a unei imagini degradate într-un sistem invariant spațial de formare a imaginii, este dată de următoarea integrală de convoluție:

$$g(x) = \int_{-\infty}^{\infty} h(x-\xi) f(\xi) d\xi, \quad (25)$$

în care $g(x)$ reprezintă imaginea degradată, $f(x)$ este funcția obiect, iar $h(x-\xi)$ reprezintă funcția de răspuns la impuls. Rezolvarea pe calculator a expresiei (25), înseamnă, de fapt, o integrare numerică care se efectuează discretizînd cantitățile de sub semnul integralei prin procedeul de eșantionare. Să presupunem că $g(x)$ este eșantionată uniform, cu pasul de eșantionare Δx .

Pentru a aplica relația (25) este necesar să eșantionăm, atât funcția $f(x)$, cât și $h(x)$, iar apoi să recurgem la interpolări. În scopul evitării dificultăților numerice se pot utiliza, ca funcții interpolatoare, funcțiile spline. Astfel, utilizând B-spline-uri ca bază în eșantionarea uniformă, obiectul $f(x)$ și răspunsul la impuls $h(x)$ se pot reprezenta (interpola) în forma următoare:

$$\begin{aligned} f(x) &= \sum_i f_i B_m(x-x_i); \\ h(x) &= \sum_j h_j B_n(x-x_j), \end{aligned} \quad (26)$$

în care $B_m(x)$ și $B_n(x)$ sînt B-spline-uri de grade m și n , centrate în originea intervalelor de eșantionare, iar f_i și h_j reprezintă coeficienții de interpolare, adică valorile funcțiilor f și h în punctele x_i , respectiv x_j . Înlocuind, acum, expresiile (26), în (25), se obține:

$$g(x) = \sum_i \sum_j f_i h_j B_m(x-x_i) * B_n(x-x_j), \quad (27)$$

unde prin semnul $*$ am desemnat produsul de convoluție. Ținînd seama de faptul că produsul de convoluție a două funcții spline de grade m , respectiv n , este un spline de grad $(m+n+1)$, avem:

$$\sum_k g_k B_{m+n+1}(x-k\Delta x) = \sum_i \sum_j f_i h_j B_{m+n+1}[x-(i+j)\Delta x]. \quad (27)$$

Utilizînd notația matriceală, ecuația (27) se mai poate scrie:

$$g = Hf, \quad (28)$$

în care g și f sînt vectori de elemente g_k , respectiv f_i , în timp ce H este o matrice circulant de elemente h_j .

Dacă considerăm, acum, restaurarea degradărilor nelinvariante spațial pentru cazul sistemelor liniare de formare a imaginilor, presupunînd că imaginea degradată nu are zgomot, atunci aceasta este modelată de o relație de tipul (28), în care H este matricea de degradare. În cazul în care H este o matrice pătrată, nesingulară și bine condiționată, imaginea restaurată, pe care o notăm cu \hat{f} , se poate obține cu ajutorul relației:

$$\hat{f} = H^{-1} g, \quad (29)$$

unde prin H^{-1} am notat inversa lui H . În practică această matrice este, fie singulară, fie prost condiționată datorită dimensiunii mari, sau datorită pierderii de detalii ale obiectului rezultat din transformarea (28). În majoritatea cazurilor concrete, H nu este pătrată. Din aceste motive, chiar în absența zgomotului, din relația (29) nu se poate obține \hat{f} , adică imaginea restaurată optimă. Acest lucru sugerează definirea unui criteriu de fidelitate care să conducă la o soluție unică pentru f . În acest scop am adoptat criteriul normei minime definit astfel: Să se minimizeze $\|f\|^2$ pentru toate funcțiile $f \in R^n$ care minimizează $\|g-Hf\|^2$. Prin $\|\cdot\|$ am notat norma euclidiană. Pentru această problemă de minimizare există o soluție unică și se obține prin metode ale calculului variației. Astfel, utilizând parametrul lagrangean δ , trebuie să minimizăm următoarea funcțională:

$$W(f) = \|g-Hf\|^2 + \delta^2 \|f\|^2 \quad (30)$$

Luând derivata lui $W(f)$ în raport cu f și anulând-o, obținem următoarea estimare optimă pentru funcția obiect:

$$\hat{f} = \lim_{\delta \rightarrow 0} (H^t + \delta I)^{-1} H^t g, \quad (31)$$

în care H^t este transpusa lui H , iar I este matricea identitate; Albert /188/ a demonstrat că pentru orice matrice H de dimensiuni $m \times n$ există întotdeauna relația:

$$H^+ = \lim_{\delta \rightarrow 0} (H^t H + \delta^2 I)^{-1} H^t, \quad (32)$$

unde H^+ se numește pseudoinversa Moore-Penrose a matricii H .

Pentru orice vector g (m -dimensional), vectorul următor:

$$\hat{f} = H^+ g \quad (33)$$

este vectorul de normă minimă printre vectorii care satisfac minimizarea $\|g-Hf\|^2$.

Utilizând anumite proprietăți matriceale, rezultă, în final, că:

$$H^+ = \lim_{\delta \rightarrow 0} H^t (H H^t + \delta^2 I)^{-1} \quad (34)$$

În scopul restaurării pe calculatorul electronic a imaginilor degradate, am elaborat un sistem de programe /184/, /192/, în care nucleul pentru restaurare îl formează calculul pseudoinversei matricii de degradare. Astfel, am implementat un algoritm de calcul al pseudoinversei, care reprezintă o adaptare a metodei de

ortogonalizare Graam-Schmidt /191/. În acest sens, ne-am limitat doar la următoarele proprietăți ale pseudoinversei:

$$HH^+H = H \text{ și } H^+HH^+ = H^+ \quad (35)$$

și ținând seama de faptul că H^+ se obține dintr-un criteriu de minim în norma euclidiană a funcționalei (30), am definit funcționala $F(f) = \|g - Hf\|^2$ care nu mai conține lagrangeanul δ^2 . Derivând această nouă funcțională în raport cu f , rezultă că pseudoinversa devine:

$$H^+ = (H^t H)^{-1} H^t \quad (36)$$

Adoptând notațiile $X = H^t$ și $Y = HX$ și desemnând vectorul coloanei i , cu x_i , algoritmul de calcul al pseudoinversei se reduce la:

$$x_i = x_i - \sum_{k=1}^{i-1} \langle Hx_i, Hx_k \rangle x_k \quad (37)$$

Considerînd că y_i este prima coloană a matricii Y , pentru $i = \overline{2, n}$ am utilizat formula:

$$x_i = x_i - \sum_{k=1}^{i-1} \langle y_i, y_k \rangle x_k \quad (38)$$

După parcurgerea integrală a relației (38) se vor obține alte valori pentru matricile X și Y , cu aceeași legătură între ele. În acest stadiu, s-a demonstrat, că H^+ este dată de:

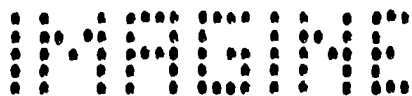
$$H^+ = XY^t \quad (39)$$

Ca indicativ al preciziei cu care am obținut pseudoinversa H^+ , am utilizat următoarea evaluare:

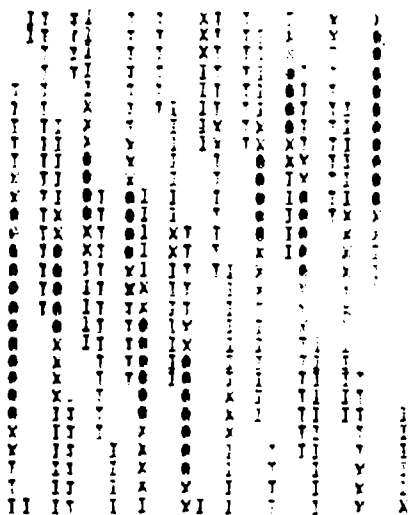
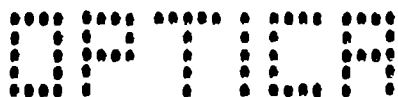
$$EPS = \|HH^+H - H\| + \|H^+HH^+ - H^+\|, \quad (40)$$

obținînd pentru EPS, valori de ordinul 10^{-10} .

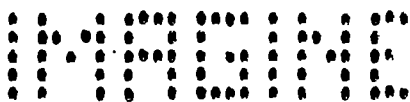
Pentru a demonstra valabilitatea algoritmului implementat, am utilizat mai multe experimente de restaurare a imaginilor degradate pentru obiecte de diferite forme /193/, utilizînd tehnica simulării pe calculator /194/. Astfel, am realizat imaginea reală, nedegradată, a unui obiect (de exemplu, imaginea textului "IMAGINE OPTICA" - vezi Fig. 13 a) și am produs degradarea totală (Fig. 13 b) cu ajutorul unei funcții de răspuns la impuls de formă gaussiană, modelată de un polinom de gradul 4. Restaurarea imaginii degradate are loc în condiții optime, încît imaginea restaurată este identică cu obiectul real (Fig. 13 c).



(a)
Obiect real
(text)



(b)
imagine degradată



(c)
imagine restaurată

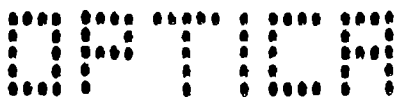


Fig.13

Sistemul de programe realizat pentru calculatoarele IBM-370/135 și Felix C-1024, permite restaurarea imaginilor degradate de 100 x 100 pixel-uri, pentru o gamă mare de nivele de luminozitate. Restaurarea detaliilor (frecvențe spațiale înalte) sau a contururilor fine ale imaginii obiectelor, are în vedere aplicarea algoritmului de interpolare prin funcții spline și cunoașterea cu precizie a funcției de răspuns la impuls.

În ceea ce privește restaurarea degradărilor nelinvariante spațiale ale imaginilor formate în sisteme optice neliniare, în lucrare am fundamentat un model teoretic bazat pe utilizarea criteriului normei minime /184/. În acest sens, am presupus că imaginea degradată este modelată de următoarea ecuație neliniară:

$$g = Hf, \quad (41)$$

în care H este aici un operator neliniar din $R^n \rightarrow R^n$, iar g și f au aceleași semnificații ca și în cazul sistemelor liniare. Am definit criteriul de fidelitate pentru unicitatea lui f cu ajutorul criteriului de normă minimă și am arătat că problema minimizării $\|f\|^2$, pentru toți f care minimizează $\|g-Hf\|^2$, admite o soluție unică. În acest scop am presupus că operatorul neliniar H este derivabil pe orice direcție și are o proprietate de monotonie, în sensul că:

$$\langle Hf_1 - Hf_2, f_1 - f_2 \rangle \geq 0 \quad (42)$$

Am asociat problemei puse următoarea funcțională:

$$W(f) = \|g - Hf\|^2 + \lambda \|f\|^2, \quad (43)$$

care trebuie minimizată ($\lambda \geq 0$) și am găsit că ea are un punct de minim unic absolut în R^n , dat de relația $\nabla W(f) = 0$. În final, am obținut următoarea estimare optimală pentru f :

$$\hat{f} = \lim_{\lambda \rightarrow 0} ([H']^T H + \lambda I)^{-1} \cdot [H'(f)]^T g, \quad (44)$$

În care H' reprezintă gradientul lui H , I -matricea identitate, iar prin T am notat semnul conjugării/transpunerii. Analizând expresia (44) se poate observa că în cazul în care H este o matrice (aplicație liniară), obținem rezultatele lui Peyrovian și Sawchuk /182/.

C O N C L U Z I I

1.1. Aplicând metoda lui Yu în cazul hologramelor sintetizate prin expuneri succesive, am determinat parametrii de optimizare λ_0 și λ_1 , care intervin în relația liniară de aproximare a caracteristicii de transfer a mediului fotosensibil. Parametrul de optimizare λ_1 l-am interpretat ca reprezentînd transmitanța de ordinul 1 a hologramei obținute prin expuneri succesive.

1.2. Am arătat că interesul pentru o astfel de aproximare decurge din necesitatea creșterii eficienței la difracție a hologramelor utilizate ca memorii de mare capacitate.

2.1. Am elaborat o nouă metodă de aproximare și liniarizare optimală, pe porțiuni, a caracteristicii de transfer a materialelor fotosensibile cu halogenuri de argint, utilizate în holografie, folosind proprietățile de aproximare ale funcțiilor spline, pe care le-am definit în domeniul expunerilor. În acest sens, am stabilit o nouă formulă de calcul a transmitanței în amplitudine a hologramelor, demonstrînd că expresia neliniară a curbei T-E se poate înlocui printr-o expresie liniară care asigură aproximarea optimală, pe porțiuni. În expresia liniară respectivă, coeficienții care intervin ca ponderi ale funcțiilor spline au semnificație de transmitanțe locale optimal approximate.

2.2. Am aplicat metoda elaborată pentru holograme de tip Fresnel înregistrate pe plăci Kodak 649 F, utilizînd ca undă obiect o undă aproximativ plană provenită de la un laser He-Ne care lucrează pe modul TEM₀₀. Am efectuat măsurători ale eficienței la difracție în ordinul 1, arătînd că înregistrările respective contribuie la neliniaritatea globală a hologramei. Pe baza măsurătorilor de transmitanță și expunere, am trasat, cu ajutorul calculatorului electronic, curbele T-E approximate prin polinoame, prin metoda celor mai mici pătrate (utilizată de Yu) și prin funcții spline. Am determinat, de asemenea, gradele de aproximare, pe baza coeficienților de variație, demonstrînd că metoda pe care am elaborat-o permite aproximări superioare.

2.3. Permițînd liniarizarea optimală și în zonele de neliniaritate pronunțată, adică în zonele de subexpunere, respectiv

de supraexpunere, metoda elaborată oferă posibilitatea calculului imaginilor de ordin superior în procesul de reconstrucție a frontului de undă înregistrat.

2.4. Prin posibilitățile de deducție, direct din curbele approximate optime, a nivelelor de expunere și transmitanțelor corespunzătoare, metoda permite definirea cerințelor experimentale de înregistrare în condiții de minimizare a distorsiunilor.

3.1. Plecând de la teoria stocastică a zgomotului datorat granulelor de argint în emulsiile fotosensibile, am elaborat o nouă metodă de aproximare optimă, atât pentru semnal, cât și pentru zgomot. În acest sens, definind o clasă de funcții spline bidimensionale pe suprafața hologramei, am demonstrat că transmitanța optimă aproximată (definită de rădăcina pătrată a semnalului) se poate exprima printr-o relație liniară conținând aceste funcții.

3.2. Cu ajutorul funcțiilor spline bidimensionale, am definit densitatea de transmitanță, transmitanța mediată, densitatea zgomotului și zgomotul mediat pentru materialele fotosensibile înregistrate holografic.

3.3. Am demonstrat că zgomotul datorat granulelor de argint (definit de dispersia transmitanței), poate fi aproximat optim printr-o relație liniară a abaterii.

3.4. Am arătat că valoarea optimă a raportului semnal/zgomot se obține împărțind pătratul transmitanței optime approximate, la dispersia acestei transmitanțe și că acest raport este dependent de numărul de granule de argint conținute în celula imagine.

4.1. Am elaborat un model teoretic pentru restaurarea degradărilor neinvariante spațiale ale imaginilor formate în sisteme optice neliniare, utilizând criteriul normei minime. Am arătat că înlocuirea operatorului neliniar, în expresia finală a imaginii restaurate optime, printr-o matrice (aplicație liniară), conduce la rezultatele din cazul sistemelor liniare.

4.2. Am restaurat imagini cu ajutorul calculatorului electronic, elaborând un sistem de programe adecvat, în care nucleul pentru restaurare este calculul pseudoinversei matricii de degradare.

Experimentele de restaurare efectuate, atestă valabilitatea algoritmului elaborat, imaginile restaurate fiind identice cu obiectele reale.

4.3. Am arătat că pentru restaurarea detaliilor (frecvențe spațiale înalte), sau a contururilor fine, este necesară aplicarea algoritmului de interpolare prin funcții spline și cunșterea exactă a funcției de răspuns la impuls.

x

x

x

În încheiere menționăm că metodele de optimizare și aproximare au câștigat în ultimii ani noi terenuri de cercetare fundamentală și aplicativă. Ca urmare, dezvoltarea și aplicarea lor au creat cadrul modern de abordare a unor cercetări de mare diversitate în domeniul prelucrării optice a informației.

BIBLIOGRAFIE SELECTIVĂ

1. Brătescu, G.G., "Optica", Ed. Didactică și Pedagogică (1965)
3. Popescu Ioan-Ioviț, Iova, I., Toader, E., "Fizica plasmei și aplicații", Ed. Științifică și Enciclopedică (1981)
4. Țițeica, R., Popescu, I., "Fizica generală", vol. 2, Ed. Tehnică (1973)
5. Popescu, I.M., ș.a., "Aplicații ale laserilor", Ed. Tehnică (1979)
7. Iova, I., "Elemente de optică aplicată", Ed. Științifică și Enciclopedică (1977)
8. Popescu, N.Gr., Opran, M.E., "Lasere-Aplicații", Ed. Militară (1979)
10. Brătescu, G.G., Tudor, T., J. Optics, 12, 59 (1981)
11. Cucurezeanu, I., Suciș, P.I., "Curs de holografie", I, I.P.B. (1974)
13. Vlad, V.I., "Introducere în holografie", Ed. Academiei R.S.R. (1973)
14. Vlad, V.I., ș.a., "Prelucrarea optică a informației", Ed. Academiei R.S.R. (1976)
15. Suciș, P.I., "Cercetări în lumină coerentă", Teză, IFTAR (1980)
16. Smith, H.M., "Holographic Recording Materials", Springer-Verlag (1977)
24. Smith, H.M., Appl. Opt., 11, 1, 26 (1972)
26. Thomas, C.E., Appl. Opt., 11, 8, 1756 (1972)
27. Goodman, J.W., Knight, G.R., J. Opt. Soc. Am., 58, 9, 1276 (1968)
29. Bryngdahl, O., Lohmann, A.W., J. Opt. Soc. Am., 58, 10, 1325 (1968)
30. Kozma, A., Jull, G.W., Hill, K.O., Appl. Opt., 9, 3, 721 (1970)
31. Velzel, C.H.F., Opt. Commun., 3, 3, 133 (1971)
33. Upatnieks, J., Leonard, C.D., Appl. Opt., 10, 10, 2365 (1971)
35. Yu, F.T.S., "Introduction to Diffraction, Information Processing, and Holography", MIT Press (1973)
37. Yu, F.T.S., J. Opt. Soc. Am., 59, 8, 490 (1969)
41. Homescu, R., "Liniarizarea funcțiilor polinomiale cu aplicații în prelucrarea optică a datelor", com. LCCE (noiembrie 1976)
43. Homescu, R., "Asupra optimizării liniare în prelucrarea optică a datelor", în: "Cibernetica și progresul societății", Ed. Politică (1980)
44. Homescu, R., "Sisteme holografice de memorare a informației", Studii și Cercet. de Calcul ec. și Cibernetică ec., 2, 97 (1973)
45. Homescu, R., "Utilizarea memoriilor holografice de mare capacitate", Studii și Cercet. de Calcul ec. și Cibernetică ec., 2, 85 (1980)

46. Hill, E., *Appl. Opt.*, 11, 1, 182 (1972)
52. Vlad, V. I., în: "Modern Trends in Cybernetics and Systems", Springer-Verlag. Vol. 3 (1975)
54. Homescu, R., "Sisteme optice de înmagazinare și regăsire a informației", com. LCCE (iunie 1975)
55. Homescu, R., "Metodă de calcul a capacității de memorare a hologramelor", com. LCCE (oct. 1973)
57. Akaev, A. A., Golubkova, M. N., Maiorov, S. A., *Avtometriia*, 2, 99 (1977)
64. Akaev, A. A., Maldenova, L. V., *Izv. VUZ Priborostr.*, 20, 3, 53 (1977)
69. Berstnev, S. P., ș. a., *Sov. J. Quantum Electron.*, 7, 5, 653 (1977)
76. Homescu, R., "Orientări actuale în domeniul memoriilor optice" Al II-lea Simpozion "Modelarea cibernetică", Academia R.S.R. (aprilie 1981)
77. Fabian, Cs., *Studii de Statistică*, D.C.S., 297 (1965)
78. Rumșiskii, L. Z., "Prelucrarea matematică a datelor experimentale" (traducere conf. dr. Săcuiu, I.), Ed. Tehnică (1974)
81. Șchiop, A. I., "Analiza unor metode de discretizare", Ed. Academiei R.S.R. (1978)
82. Micula, Gh., "Funcții spline și aplicații", Ed. Tehnică (1978)
85. Schultz, M. H., "Spline Analysis", Prentice-Hall (1973)
86. Homescu, R., "Funcții spline și aplicarea lor în optimizarea proceselor de prelucrare optică a datelor", com. LCCE (ian. 1978)
87. Homescu, R., "O metodă de liniarizare optimală pentru curba transmitanță-expunere", com. LCCE (iunie 1978)
88. Homescu, R., "Linear Optimization in O.D.P. Using Splines", 4th Internat. Congress of Cybernetics and Systems, Amsterdam (August 1978)
89. Homescu, R., "On Linear Optimization in Optical Data Processing", *Ec. Comput. and Ec. Cybernetics St. and Res.*, 1, 61 (1979)
124. Yu, F. T. S., *J. Opt. Soc. Am.*, 59, 342 (1969)
125. Yu, F. T. S., *J. Opt. Soc. Am.*, 60, 1547 (1970)
122. Papoulis, A., "Probability, Random Variables, and Stochastic Processes", McGraw-Hill (1965)
151. Homescu, R., "Optimization of the Signal-to-Noise Ratio in the Optical Data Processing", the 9th IFIP Conference, Warsaw (Sept. 1979)
152. Homescu, R., în: "Optimization Techniques. Lectures Notes in Control and Information Sciences, Part 2" (Eds. Balakrishnan, A. V., and Thoma, M.), Springer-Verlag (1980)
155. Dodescu, G., "Metode numerice în algebră", Ed. Tehnică (1979)
182. Peyrovian, M. J., Sawchuk, A. A., *Appl. Opt.*, 17, 4, 660 (1977)
183. Hou, H. S., Andrews, H. C., *IEEE Trans. Comput.*, C-26, 9, 856 (1977)
184. Homescu, R., "O metodă de restaurare a imaginilor cu ajutorul calculatorului electronic", Conferința Națională de Cibernetică, Academia R.S.R. (oct. 1981)

188. Albert, A., "Regression and the Moore-Penrose Pseudoinverse", Academic Press (1972)
191. Luecke, G.R., Numer.Math., 32, 129 (1979)
192. Stancu, M.G., Homescu, R., "Pseudoinversa Moore-Penrose cu aplicații în prelucrarea optică a datelor", Conferința Națională de Cibernetică, Academia R.S.R. (oct. 1981)
193. Homescu, R., "Restaurarea imaginilor prin utilizarea funcțiilor spline și a criteriului normei minime", Al III-lea Colocviu de Informatică - INFO, Iași (oct. 1981)
194. Văduva, I., "Metode de simulare cu calculatorul", Ed. Tehnică (1972)